

## 1. บทสรุป (Executive Summary)

มนุษย์ส่วนใหญ่ใช้เวลามากกว่า 80% อาศัยอยู่ภายในตัวอาคาร หรือสถานที่ร่ม ซึ่งเป็นสถานที่ปิด อย่างเช่น ที่ทำงาน, โรงงาน, ห้องสรรพสินค้า, บ้าน, หรือ ภายในรถยนต์ เป็นต้น โดยที่ไปในสถานที่ดังกล่าวอาจพบก้าช หรือสารปนเปื้อนหลายร้อยชนิดที่อาจทำอันตรายต่อร่างกายมนุษย์ได้ เช่น ควันบุหรี่, ก้าชจากการเผาไหม้ ( $\text{CO}$ ,  $\text{CO}_2$ ), ยาจากแมลง, แบคทีเรีย, ไวรัส, ฯลฯ ในสารเคมีหรือก้าชบางชนิด เพียงปริมาณความเข้มข้นเล็กน้อย ก็สามารถส่งผลให้เกิดอันตรายถึงชีวิต ตัวอย่างเช่น ก้าชคาร์บอนมอนอกไซด์ ( $\text{CO}$ ) ซึ่งเป็นก้าชที่ไม่มีสี ไม่มีกลิ่น ไม่มีรส เพียงความเข้มข้น 667 ppm เป็นสาเหตุให้ 50% ของ เอโน่โกลบิน (Hemoglobin) ในเม็ดเลือดแดงเปลี่ยนเป็น Carboxyhemoglobin ซึ่งทำให้ไม่สามารถลำเลียงออกซิเจนไปยังเลี้ยงเนื้อเยื่ออองค์ประกอบของร่างกายได้ หรือ ก้าชในโตรเจนไดออกไซด์ ( $\text{NO}_2$ ) เพียง 100 ppm ก็สามารถทำให้เกิด ภาวะปอดบวมน้ำ (Pulmonary Edema) ซึ่งอาจส่งผลให้เสียชีวิตอย่างฉับพลัน จากตัวอย่างดังกล่าวจะเห็นได้ว่า การตรวจสอบคุณภาพอากาศภายในตัวอาคาร (Indoor Air Quality) เป็นสิ่งจำเป็นอย่างยิ่งสำหรับมนุษย์ อีกทั้งคุณภาพอากาศยังส่งผลในด้านสภาวะอารมณ์ และการทำงานของมนุษย์อีกด้วย ในช่วงสิบปีที่ผ่านมา มนุษย์ได้เล็งเห็นความสำคัญในการตรวจสอบคุณภาพของอากาศ จึงพยายามพัฒนาก้าชเซนเซอร์ เพื่อให้ตรวจจับก้าชอันตรายชนิดต่างๆ ก้าชเซนเซอร์แบบโลหะออกไซด์เป็นหนึ่งในหลักหลาຍชนิดของก้าชเซนเซอร์ที่นิยมใช้ อย่างไรก็ตามก้าชเซนเซอร์ดังกล่าวยังใช้พลังงานที่มากในการทำงาน (high power consumption) ถึงแม้ว่าจะมีการพัฒนาก้าชเซนเซอร์แบบโลหะออกไซด์โดยการใช้นาโนเทคโนโลยี เพื่อให้ทำงานที่อุณหภูมิต่ำ ตอบสนองและเลือกตอบสนองกับก้าชที่ต้องการได้สูง (high sensitivity and selectivity) แต่ nano ก้าชเซนเซอร์ส่วนใหญ่ยังทำงานได้ดี เพียงในห้องปฏิบัติการเท่านั้น เพราะฉะนั้นวิธีการผลิตนาโนก้าชเซนเซอร์ซึ่งทำงานได้ที่อุณหภูมิต่ำและสามารถผลิตในระดับอุตสาหกรรมได้ ยังคงจำเป็นอย่างยิ่ง ในงานวิจัยนี้ จึงเป็นการนำเสนอ วิธีประดิษฐ์ ก้าชเซนเซอร์ที่มีโครงสร้างแบบทั้ง Nanowires, Nanorods และ Core-shell nanowires โดยใช้วิธีต่างๆ เช่น Glancing Angle RF Sputtering, Chemical vapor deposition (CVD), Atomic layer deposition โดยผลการวิจัยพบว่า ก้าชเซนเซอร์ที่ผลิตขึ้น สามารถนำไปตรวจดักจับก้าชพิษต่างๆ เช่น  $\text{NO}_2$ ,  $\text{CO}$ ,  $\text{H}_2\text{S}$  ทั้งที่อุณหภูมิต่ำ ( $150^\circ\text{C}$ ) และที่อุณหภูมิห้อง อีกทั้งวิธีดังกล่าวยังสามารถใช้ในการผลิตก้าชเซนเซอร์ในระดับอุตสาหกรรมได้อีกด้วย โดยการรวมกันของก้าชเซนเซอร์ที่ผลิตขึ้นจากการวิจัยขึ้นนี้ เช่น  $\text{ZnO}$  nanowires,  $\text{WO}_3$  nanorods, C-doped  $\text{WO}_3$  nanorods,  $\text{ZnO-ZnAl}_2\text{O}_4$  core-shell nanowires และ  $\text{ZnO-Zn}_2\text{TiO}_4$  core-shell nanowires สามารถที่จะใช้เป็นเครื่องมือในการตรวจสอบคุณภาพอากาศโดยมีประสิทธิภาพในการแยกแยะและบ่งบอกค่าความเข้มข้นของก้าชทั้งที่มีพิษ และไม่มีพิษได้ในระดับน้อย (ระดับ ppb ถึง ppm)

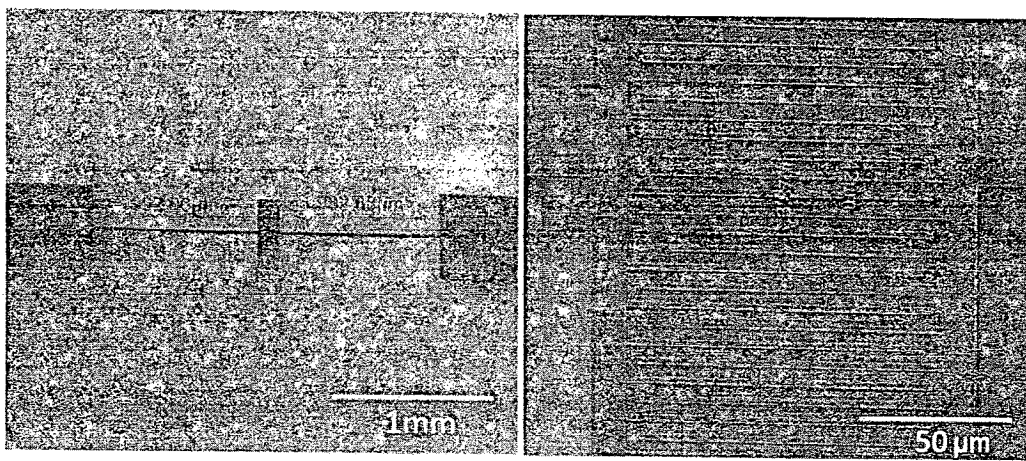
## 2. วัตถุประสงค์งานวิจัย

- ประดิษฐ์ก้าชเซนเซอร์ที่มีโครงสร้างแบบแท่งนาโน (nanorods) ลวดนาโน (nanowires) และแบบ core-shell ลวดนาโน (core-shell nanowires)
- ตรวจจับกําชพิษ เช่น CO และ NO<sub>2</sub> ในปริมาณน้อยๆ (ระดับด้วย ppb ถึง ppm) โดยใช้ก้าชเซนเซอร์ที่ผลิตขึ้น
- สร้างชุดทดสอบหัววัดก้าชเซนเซอร์ (เครื่องจมูกอิเล็กทรอนิกส์)
- ค้นหาคุณสมบัติการตอบสนองและกลไกการตอบสนองของเซนเซอร์ที่ผลิตขึ้นกับกําชพิษต่างๆ

## 3. ระเบียบวิธีวิจัย

### 3.1 วิธีผลิตอิเล็กโทรด (Interdigitated Electrodes)

วิธีแรกเป็นการใช้วิธีโฟโตโลกราฟี (photolithography) เริ่มด้วยการนำแผ่นซิลิโคนมาทำความสะอาด โดยกระบวนการล้างด้วยวิธีมาตรฐาน (RCA cleaning) หลังจากนั้น แผ่นซิลิโคนจะถูกเคลือบด้วยชั้นของโลหะออกไซด์ ( $\text{SiO}_2$ ) ด้วยความหนา 100 nm เพื่อให้เป็นชั้นของจนวน โดยการ Heat ด้วยความร้อน 1200 °C หลังจากนั้นนำแผ่น Si wafer ที่มีชั้น  $\text{SiO}_2$  ไปทำการ曝光 photolithography เริ่มจากการนำ photoresist มา spin coat บนแผ่นชั้น  $\text{SiO}_2$  และนำไปเจลเจล UV โดยมี mask ที่มีรูปร่างคล้ายหวีเป็นตัวเลือกฉายแสง หลังจากนั้นนำเข้าสู่กระบวนการ developing คือการ remove ของ photoresist ส่วนที่ไม่โดยแสงออกไป และนำไป Sputtering กับ Cr และ Au เมื่อทำการ Sputtering เสร็จจะทำการ Etching ส่วนที่เป็น photoresist ที่มี Cr และ Au หลังจากนั้นจะได้อิเล็กโทรดที่มีลวดลายคล้ายหวีบนแผ่นซิลิโคน ดังแสดงอยู่ในรูปที่ 1

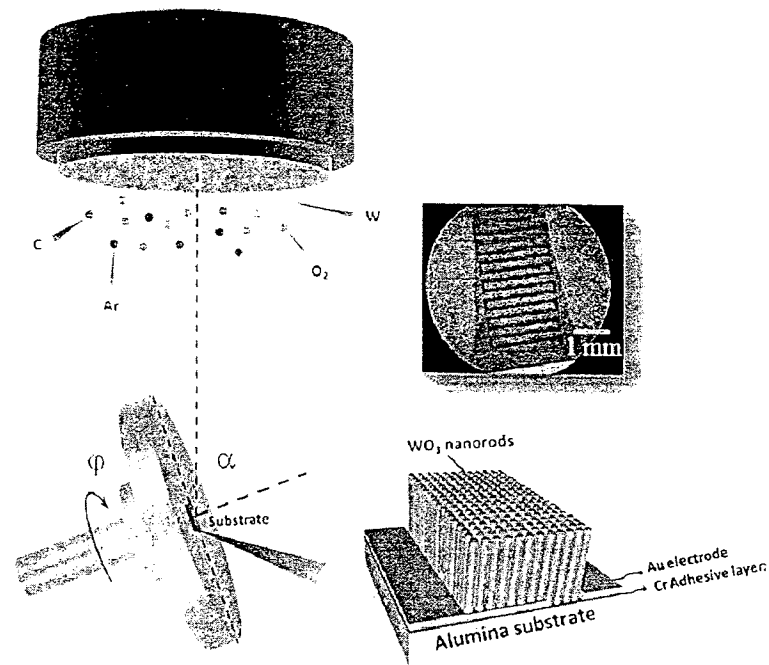


รูปที่ 1: รูปแสดงอิเล็กโทรดบนแผ่นซิลิโคน

วิธีที่สองในการสร้างอิเล็ก trod คือการใช้ เครื่อง Sputtering ทำการ Sputtering โลหะ Cr และ Au โดยตรง โดยใช้ mask เป็นตัวสร้างรูปแบบ โดยขันตอน จะนำเอา substrate เช่น silicon wafers หรือ alumina ล้างด้วย acetone และ isopropanol โดยใช้ ultrasonication แล้วนำไปทำให้แห้งด้วย nitrogen ก่อนนำเข้า Chamber วาง mask ที่เป็นรูปกลักษณะคล้ายหวีทับลงบน substrate และปั๊มให้อยู่ในสูญญากาศ  $5.0 \times 10^{-6}$  mbar และทำการ DC Sputtering โลหะ Cr และ Au ก็จะได้อิเล็ก trod สำหรับนำไปทำก้าชเซนเซอร์ต่อไป ซึ่งวิธีที่หนึ่งจะให้ค่า Gap ของอิเล็ก trod ให้แคบกว่าวิธีแรก และมีความยุ่งยากกว่าวิธีที่สอง ในกระบวนการวิจัยนี้จะมีการผลิต Interdigitated Electrodes ทั้งสองวิธี

### 3.2 วิธีการผลิตก้าชเซนเซอร์ที่มีโครงสร้างแบบแท่งนาโน

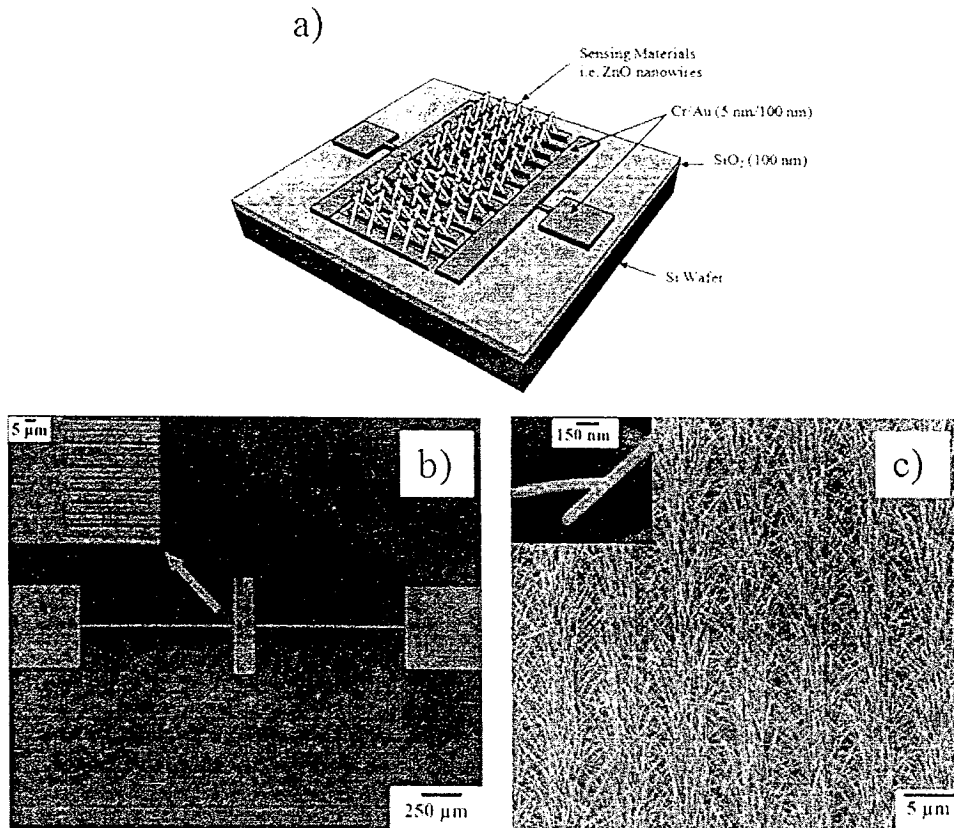
WO<sub>3</sub> nanorods และ C-doped WO<sub>3</sub> nanorods gas sensors ได้ถูกผลิตขึ้นสำหรับตรวจจับก้าชพิษ สำหรับการปลูก WO<sub>3</sub> nanorods จะอาศัยเทคนิค Glancing Angle RF Sputtering ดังแสดงในรูปที่ 2 วิธีการปลูกจะเริ่มต้นจากการนำ Interdigitated Electrodes ที่ผลิตได้ใส่ใน Chamber และนำ 3-inch tungsten disc ความบริสุทธิ์ 99.995% มาใช้เป็น Target สำหรับ Sputtering โดย Interdigitated Electrodes จะอยู่ห่างจากเป้า tungsten 7 cm และ Interdigitated Electrodes จะหมุนด้วยอัตรา 60 rpm และวางแผนเอียงด้วยมุม  $\alpha = 85^\circ$  tungsten Target ถูก Sputtering ในบรรยากาศของ อาร์กอนและออกซิเจน อัตราส่วนการให้หลังของอาร์กอนและออกซิเจน เข้าสู่ Chamber คือ 9.6 และ 11.0 sccm ตามลำดับ Plasma discharge ถูกสร้างขึ้นโดยใช้ RF ที่กำลัง 200 W การสังเคราะห์จะใช้เวลา 3 ชั่วโมง สำหรับ C-doped ก้าช acetylene จะเข้าสู่ Chamber ด้วยอัตราไฟล 1.1 sccm ระหว่าง Plasma discharge เมื่อันได้ก้าชเซนเซอร์ที่มีโครงสร้างแบบแท่งนาโนจะถูกนำไป heat ด้วยความร้อน 400 °C เพื่อให้ crystalline structure มีความเสถียร



รูปที่ 2: แสดงการผลิตก้าวเซนเซอร์ที่มีโครงสร้างแบบแท่งนาโนดังต่อไปนี้

### 3.3 วิธีการผลิตก๊าซเชนเชอร์ที่มีโครงสร้างแบบลวดนาโน

หลังจากได้อิเล็ก troden แผ่นซิลิกอนแล้วตามวิธีข้อ 3.1 อิเล็ก troden จะถูกทำความสะอาดด้วยสาร acetone, isopropanol, deionized water และเป่าให้แห้งด้วยก๊าซ N<sub>2</sub> หลังจากนั้นอิเล็ก troden แผ่นซิลิกอน จะถูกวางอยู่ในเครื่อง Chemical vapor deposition (CVD) เพื่อปลูก ZnO nanowire สำหรับเป็นวัสดุตอบสนอง (sensing materials) โดยกระบวนการปลูกอาศัยผง ZnO และ ผง graphite ซึ่งผสมคลุกเคล้ากันในอัตราส่วน 1:1 โดยน้ำหนัก ผงที่ถูกผสมแล้วนี้จะถูกให้วางในเครื่อง CVD โดยให้ความร้อนอยู่ที่ 950 °C ในขณะที่แผ่นอิเล็ก troden แผ่นซิลิกอน จะถูกให้ความร้อนอยู่ที่ 750 °C โดยอยู่ในสภาพบรรยากาศที่ความดัน 30 mbar กับก๊าซ N<sub>2</sub> และ ก๊าซ O<sub>2</sub> รูปที่ 3 เป็นรูปแสดง ZnO nanowire บนอิเล็ก troden แผ่นซิลิกอน หลังจากการปลูก ZnO บนอิเล็ก troden สร้างเกตได้ว่า ZnO nanowire จะสามารถเชื่อมติดกันได้ซึ่งทำให้กระแสเคลื่อนที่ผ่านได้จาก รอยต่อของ ZnO เหล่านี้



รูปที่ 3: (a) โครงสร้างของก้าชเซนเซอร์ (b) รูปอิเล็ก trod ที่ใช้ปลูก ZnO ลวดนาโน (c) รูปแสดง ภายนอกการปลูก ZnO ลวดนาโนบนอิเล็ก trod

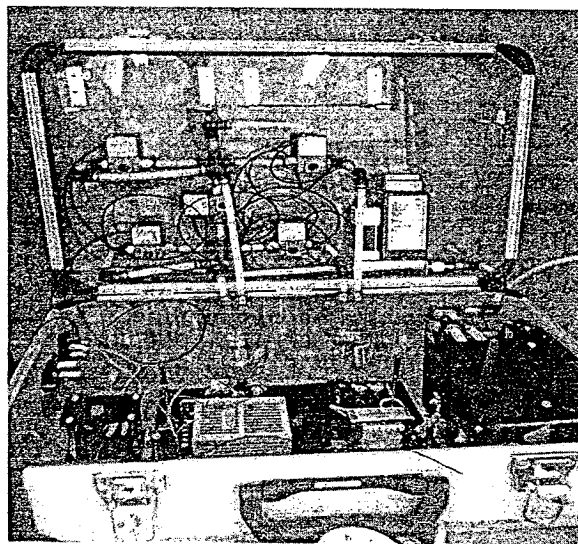
### 3.4 วิธีการผลิตก้าชเซนเซอร์ที่มีโครงสร้างแบบ core-shell ลวดนาโน

การผลิตก้าชเซนเซอร์ที่มีโครงสร้างแบบ core-shell ลวดนาโน จะอาศัยโครงสร้าง Core ของ ZnO ที่ผลิตขึ้นตามข้อ 3.3 จะนำเอา ก้าชเซนเซอร์ที่มีโครงสร้างแบบลวดนาโนมาเคลือบด้วย  $\text{Al}_2\text{O}_3$  และ  $\text{TiO}_2$  โดยใช้วิธี atomic layer deposition (ALD) ให้มีความหนา 5 nm โดย  $\text{Al}_2\text{O}_3$  และ  $\text{TiO}_2$  ถูก form ที่อุณหภูมิ 115 °C โดยอันติกริยาของ trimethylaluminum และ titanium isopropoxide ตามลำดับ และ water vapor อยู่ในเตาแบบ vertical flow type reactor (OpAL, Oxford Instruments) เมื่อ  $\text{Al}_2\text{O}_3$  และ  $\text{TiO}_2$  เคลือบลงบน ZnO และ Sensors จะถูกนำไปอบที่อุณหภูมิ 700 °C เวลา 3 เพื่อให้เกิด solid-state reactions เพื่อได้ shell เป็น  $\text{ZnAl}_2\text{O}_4$  และ  $\text{Zn}_2\text{TiO}_4$  บนพื้นผิวของ ZnO ลวดนาโน

### 3.5 วิธีสร้างเครื่องจมูกอิเล็กทรอนิกส์ (Electronic nose) และวิธีการทดสอบก้าช

เครื่องจมูกอิเล็กทรอนิกส์ได้ถูกผลิตขึ้น เพื่อใช้สำหรับการทดสอบก้าชเซนเซอร์ต่างๆ โดย การสร้างเครื่องจมูกอิเล็กทรอนิกส์ประกอบด้วย 3 ส่วนสำคัญคือส่วน (I) ระบบการนำกลิ่นเข้าสู่ห้อง

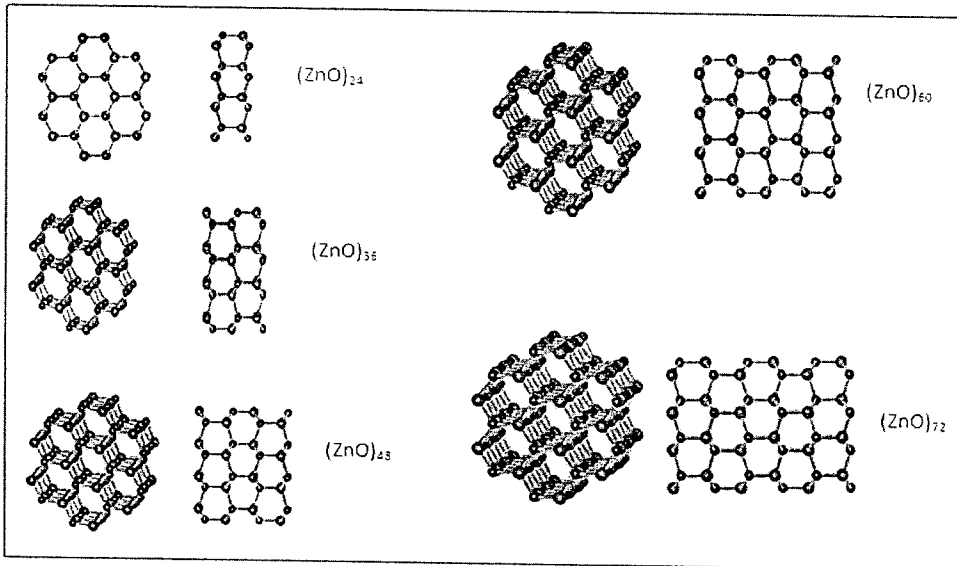
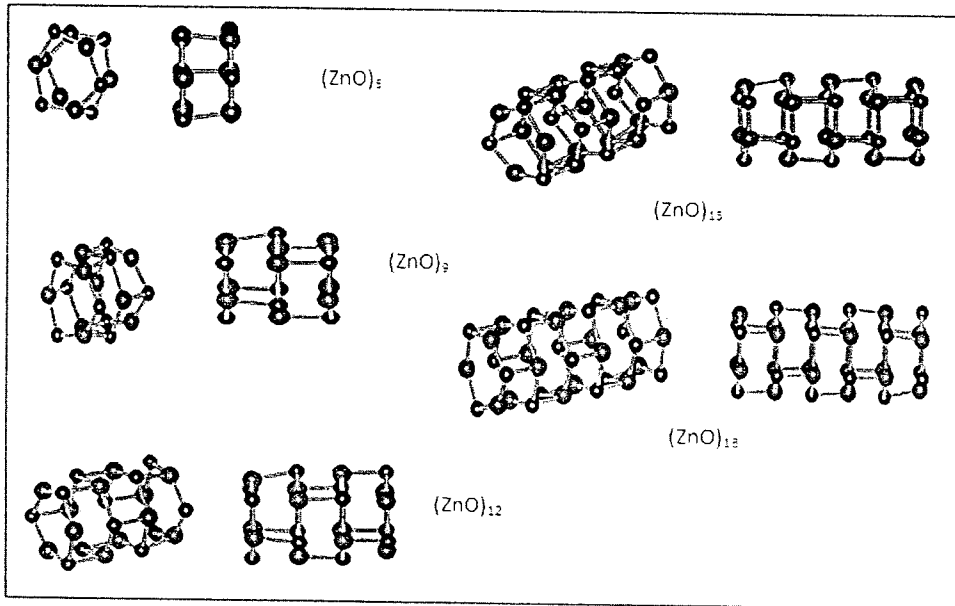
วัดกลิ่น โดยระบบที่สร้างขึ้นจะอาศัยโซลินอยด์วาวล์เป็นตัวเลือกเปิด ปิดของกลิ่นซึ่งจะมี 2 เส้นทาง คือ ทางให้ลมเป่าไปยัง Reference และ ลมเลือกไปทาง Sample ที่สนใจ (II) ส่วนของห้องวัดกลิ่น โดยให้ห้องวัดกลิ่นจะประกอบด้วย Gas sensor แบบต่างๆ โดยในเครื่องที่สร้างขึ้นนี้จะมีทั้งอาศัย Sensor ที่สร้างขึ้น และ Metal oxide ที่วางขายตามท้องตลาด (TGS sensor) มาเป็นตัวตรวจจับกลิ่น (III) ส่วนประมวลผล จะอาศัยโปรแกรม LabVIEW รวมกับ USB DAQ เป็นตัวรับหรือส่งค่า สื่อสาร ต่างไปควบคุมเครื่อง E-nose กับ Computer ด้วยผ่านทางพอร์ต USB เครื่องจะมีอุปกรณ์ที่สร้างขึ้นถูกแสดงในรูปที่ 4



รูปที่ 4: เครื่องจมูกอิเล็กทรอนิกส์

### 3.6 วิธีการแบบจำลองโมเลกุลโดยใช้การคำนวณแบบคาดคะมำ

ออกแบบและจำลองโครงสร้างของเส้นลวดนาโนชิ้งก์ออกไซด์ ขึ้นมาเส้นผ่านศูนย์กลาง 2 แบบ โดยแต่ละแบบจะมีขนาดความยาวที่แตกต่างกัน คือ ขนาดเล็ก  $(ZnO)_6$ ,  $(ZnO)_9$ ,  $(ZnO)_{12}$ ,  $(ZnO)_{15}$  และ  $(ZnO)_{18}$  และ ขนาดใหญ่  $(ZnO)_{24}$ ,  $(ZnO)_{36}$ ,  $(ZnO)_{48}$ ,  $(ZnO)_{60}$  และ  $(ZnO)_{72}$  ดังแสดงอยู่ในรูปที่ 5 เมื่อสร้างเรียบร้อยจะมีการ Pre-Optimization โดย Classical method ก่อนโดย MM method หลังจากนั้นจะทำการ Full Geometry Optimization โดยใช้ Semi-empirical quantum chemistry method based on Austin Model 1 (AM1) และจะมีการหา electronic properties เช่น Highest Occupied Molecular Orbital (HOMO) Lowest Unoccupied Molecular Orbital (LUMO) และ Energy Gap เป็นต้น



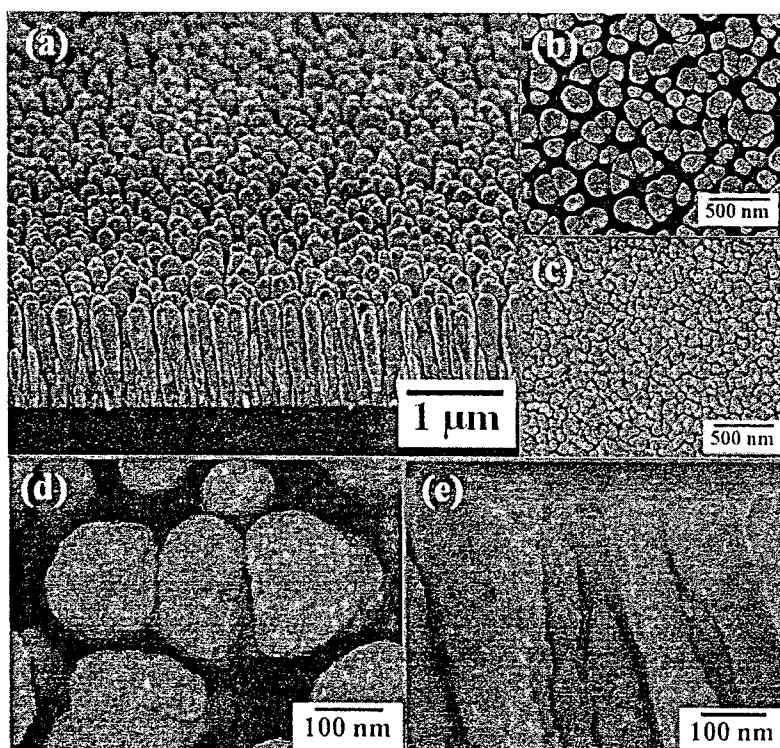
รูปที่ 5: โครงสร้างของเส้นลวดนาโนซิงก์ออกไซด์ที่จำลองขึ้น

#### 4. ผลการวิจัยและอภิปรายผล

##### 4.1 ก้าชเซนเซอร์ C-doped WO<sub>3</sub> แบบแท่งนาโนสำหรับตรวจจับ NO<sub>2</sub>

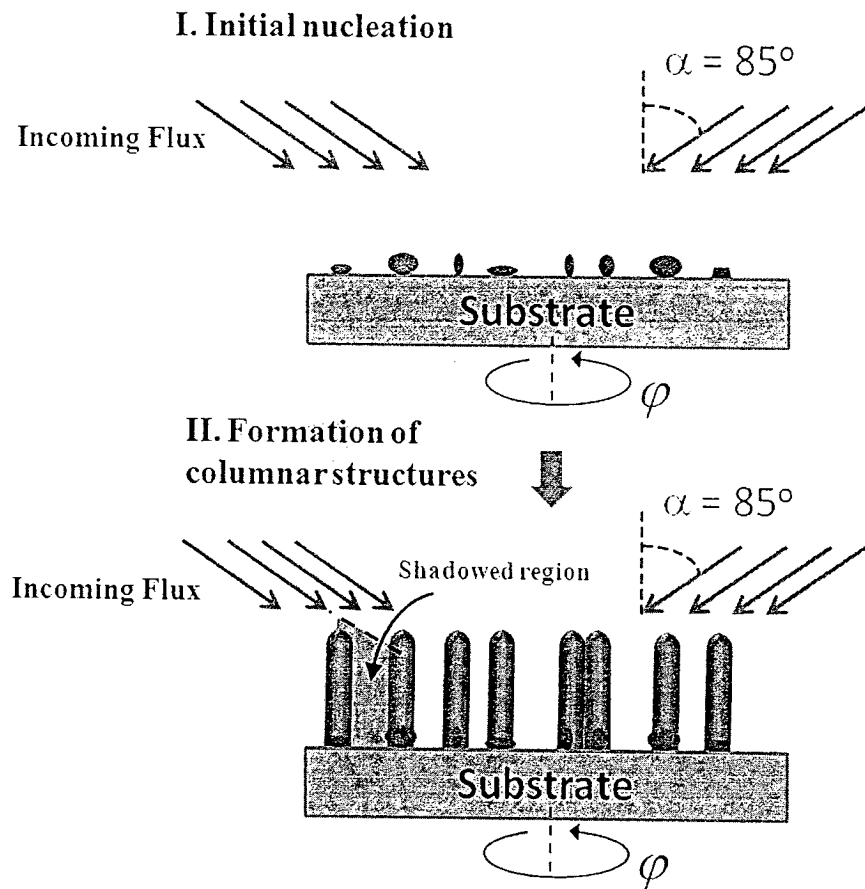
โครงสร้างและลักษณะพื้นผิวของ C-doped WO<sub>3</sub> nanorods ที่สังเคราะห์ขึ้นสำหรับเป็น Sensing Materials ถูกวิเคราะห์ด้วย field emission scanning electron microscopy (FE-SEM) ดังแสดงอยู่ในรูปที่ 6 จากรูปที่ 6 จะสังเกตได้ว่า C-doped WO<sub>3</sub> nanorods ที่สังเคราะห์ขึ้นด้วยวิธี Glancing Angle RF Sputtering สามารถให้แท่งนาโนที่มีลักษณะดังต่อไปนี้ และมีความเป็นระเบียบสูง โดยพื้นผิวของ C-doped WO<sub>3</sub> nanorods มีลักษณะขรุขระซึ่งจะเป็นการเพิ่ม specific surface area สามารถส่งผลต่อการตอบสนองต่อก๊าซได้สูง เส้นผ่าศูนย์กลางและความยาวของ C-doped WO<sub>3</sub> nanorods

ประมาณ 174 nm และ ~ 1.1 μm ลำดับ (แสดงในรูป 6a และ 6b) ซึ่งมีค่า aspect ratio ~ 6.3 เมื่อเปรียบเทียบกับ undoped  $\text{WO}_3$  nanorods ที่มีเส้นผ่านศูนย์กลาง ~ 74 nm และความยาว ~ 235 nm (แสดงในรูป 6c) มีค่า aspect ratio ~ 3.2 จากผล FE-SEM ดังกล่าวแสดงให้เห็นว่าเมื่อใส่ก๊าซ acetylene เข้าไปขณะทำการ Sputtering จะทำให้ช่วยการเร่งของการปลุก  $\text{WO}_3$  nanorods เนื่องจากการเพิ่มของ local combustive oxidation และ temperature gradients ให้กับระบบ ซึ่ง  $\text{WO}_3$  nanorods ที่ปลุกขึ้นมาสำหรับเป็นตัวตอบสนองก๊าซเหล่านี้จะมีบางส่วนที่เชื่อมต่อติดกันสำหรับให้กระแสเคลื่อนที่ผ่านได้ดังรูปที่ 6d และ 6e.



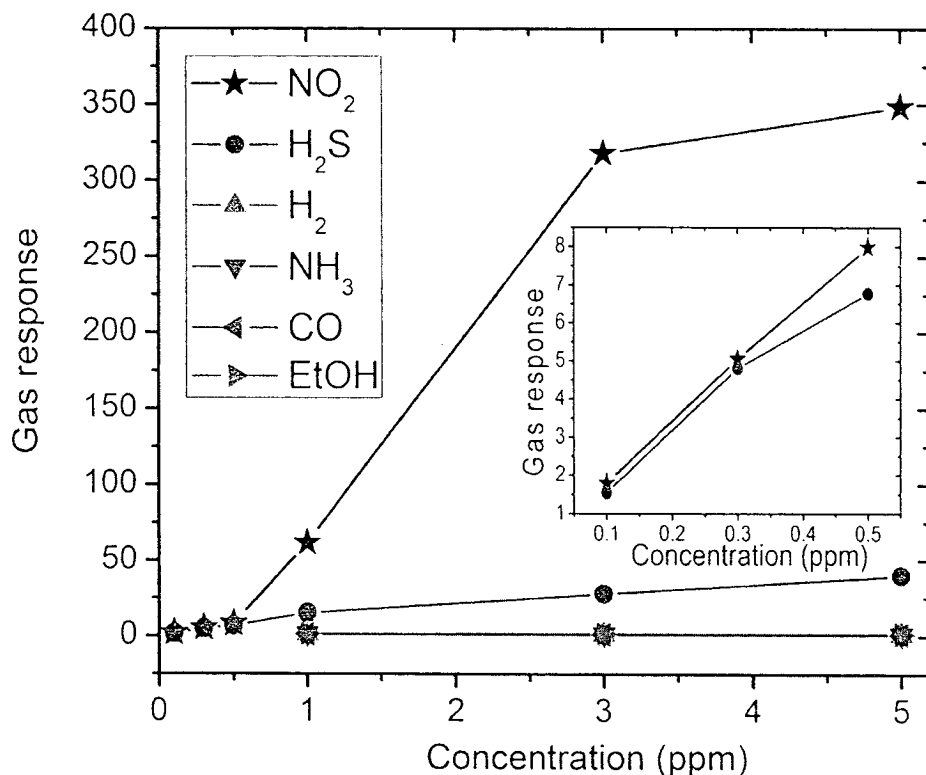
รูปที่ 6: รูป FE-SEM แสดงโครงสร้าง (a,b) C-doped  $\text{WO}_3$  nanorods (c) pristine  $\text{WO}_3$  nanorods และ (d,e) การเชื่อมต่อของ nanorods ที่สังเคราะห์ขึ้นสำหรับเป็น Sensing Materials

กลไกการเกิด nanorods แบบดั้งเดิมแสดงอยู่ในรูปที่ 7 การดึงดั้งเกิดมาจาก strong atomic self-shadowing ภายใต้เงื่อนไขของ limited adatom mobility ขั้นแรกเริ่มการเกิด nucleation เพื่อการก่อตัวของ shadowing centers โดยอะตอมจะถูก deposite แบบสุ่มรอบๆ พื้นผิวของ substrate หลังจากนั้นตรงบริเวณของ nucleation อะตอมจะค่อยๆ add เข้าไปในแกนดั้งเดิมนั้นเนื่องจากมุ่มເອີງค่าหนึ่ง และ substrate หมุนทำให้ผลรวมแกนนอนเป็นศูนย์ จึงทำให้เกิด nanorods แบบดั้งเดิม



รูปที่ 7: กลไกการก่อตัว (Formation mechanism) เป็น Nanorods แบบดั้งเดิม

ค่าการตอบสนอง (sensor response) และเลือกการตอบสนอง (selectivity) ของ C-doped  $\text{WO}_3$  nanorods ก้าชเซนเซอร์ถูกแสดงอยู่ในรูปที่ 8 ก้าชหลากหลายชนิด เช่น  $\text{NO}_2$ ,  $\text{H}_2\text{S}$ ,  $\text{H}_2$ ,  $\text{NH}_3$ ,  $\text{CO}$ , และ  $\text{EtOH}$  ที่ความเข้มข้นต่างๆ ถูกให้เหลาสู่ก้าชเซนเซอร์ โดยการทดสอบก้าชเซนเซอร์จะทำงานที่อุณหภูมิ  $250^\circ\text{C}$  จากกราฟจะเห็นได้ว่า C-doped  $\text{WO}_3$  nanorods เซนเซอร์มีค่าการตอบสนองต่อ  $\text{NO}_2$  ที่สูงและไม่ตอบสนองต่อ  $\text{H}_2$ ,  $\text{NH}_3$ ,  $\text{CO}$ , และ  $\text{EtOH}$  ที่ความเข้มข้น จาก 1 ppm ถึง 5 ppm โดยที่ความเข้มข้นที่ 5 ppm ค่าการตอบสนองต่อ  $\text{NO}_2$  และ  $\text{H}_2\text{S}$  อยู่ที่  $\sim 348$  และ  $\sim 40$  เพราะฉะนั้นก้าชเซนเซอร์ที่ผลิตขึ้นสามารถใช้ในการตรวจสอบก้าชพิษ อย่างเช่น  $\text{NO}_2$  ที่ปริมาณน้อยๆ ได้เป็นอย่างดี



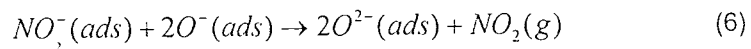
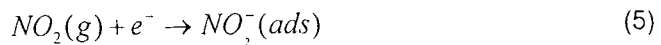
รูปที่ 8: แสดงการตอบสนองของ C-doped  $\text{WO}_3$  nanorods Gas Sensor กับกําชต่างๆ

กลไกการตอบสนองของกําชเซนเซอร์ C-doped  $\text{WO}_3$  nanorods ต่อกําช  $\text{NO}_2$  ถูกแสดงอยู่ในรูปที่ 9 เริ่มต้นโมเลกุลจากอากาศ adsorb บนพื้นผิวของ C-doped  $\text{WO}_3$  nanorods และสามารถ transform เป็น chemisorbed oxygen species ( $\text{O}^{2-}$ ,  $\text{O}_2^-$ ,  $\text{O}^-$ ) โดยการ trapping อิเล็กตรอนที่พื้นผิวสอดคล้องกับสมการด้านล่าง

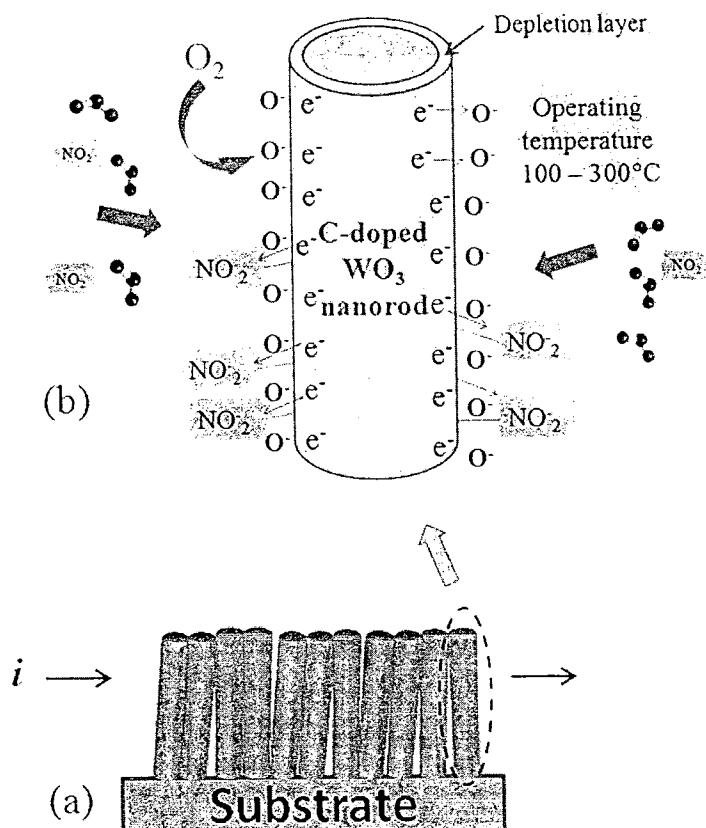


เมื่ออุณหภูมิการทำงานของกําชเซนเซอร์ที่  $100\text{--}300\text{ }^\circ\text{C}$  ตัว chemisorbed oxygen species ส่วนใหญ่คือ  $\text{O}^-$  เมื่อ  $\text{O}^-$  species เริ่ม adsorb บนพื้นผิว space charge layer จะก่อตัวที่ grain boundaries และเมื่อ carbon-doped  $\text{WO}_3$  nanorod สมผัสกับโมเลกุล  $\text{NO}_2$  ตัวโมเลกุล  $\text{NO}_2$  จะ

สามารถ adsorb โดยตรงบนพื้นผิว และด้วย  $O^-$  species ที่มา adsorb ก็ยังสามารถทำปฏิกิริยา กับ ก๊าซได้ส่งผลให้เกิดการแลกเปลี่ยนอิเล็กตรอนดังสมการ



จากปฏิกิริยาด้านบนจะช่วยเพิ่ม thickness ของ depletion layer ซึ่งนำไปสู่การเพิ่มของค่า ความด้านทานของ carbon-doped  $WO_3$  nanorods เช่นเชอร์ จึงสามารถทำให้รู้การเปลี่ยนแปลงค่า ความด้านทานต่อความเข้มข้นของก๊าซมีมาจับได้

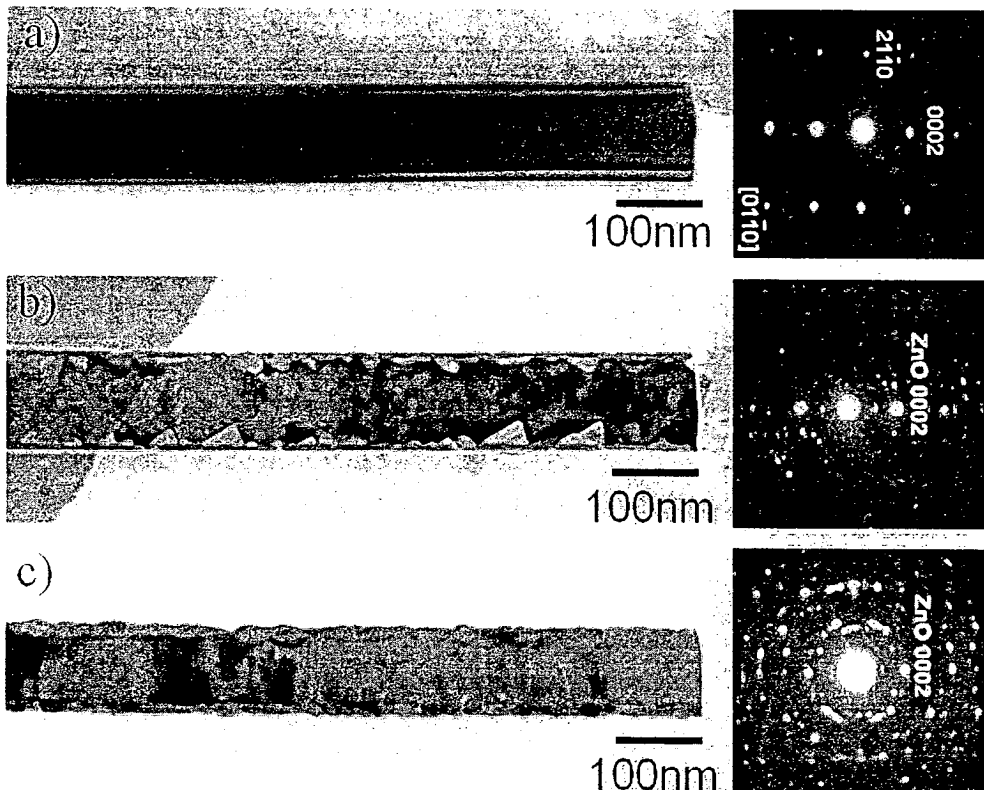


รูปที่ 9: แสดงกลไกการตอบสนองของ C-doped  $WO_3$  nanorods Gas Sensor กับก๊าซ  $NO_2$

#### 4.2 ก๊าซเซนเซอร์แบบ core-shell ลวดนาโนสำหรับก๊าซพิษ

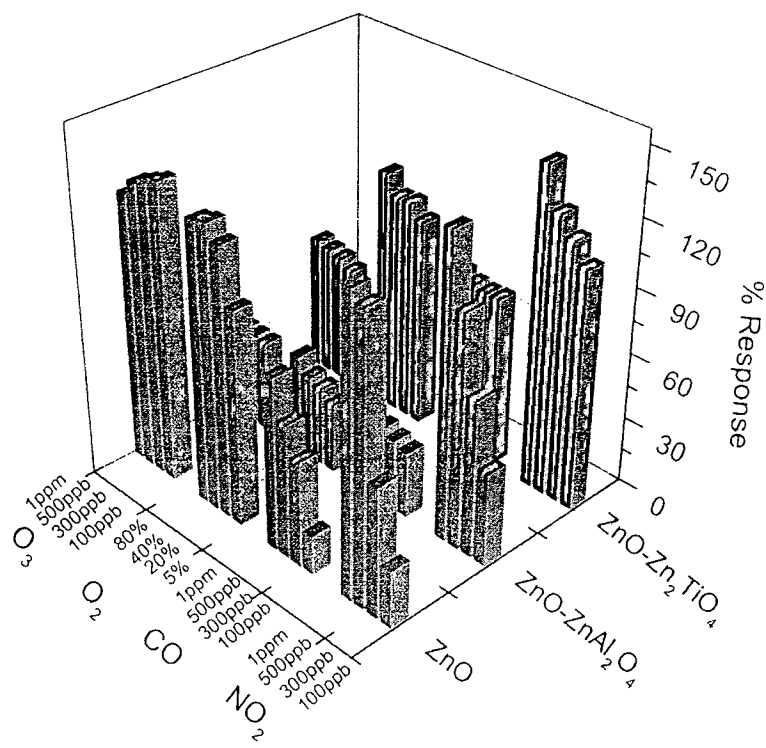
โครงสร้างของ  $ZnO$  nanowire และ core-shell nanowire ถูกศึกษาโดย Transmission electron microscopy (TEM) ดังแสดงอยู่ในรูปที่ 10 จากรูปจะสังเกตได้ว่า  $ZnO$  จะมีโครงสร้างผลึก แบบ single-crystalline กับ [0002] elongation (c-oriented) และเมื่อเคลือบด้วยโลหะออกไซด์  $ZnO$

ยังรักษาคุณสมบัติ single-crystalline กับการล้อมรอบด้วย polycrystalline ของโลหะออกไซด์โดย การแปลงจาก  $ZnO-Al_2O_3$  เป็น  $ZnO-ZnAl_2O_4$  เกิดจาก Kirkendall effect ในขณะที่  $ZnO-TiO_2$  nanowires เป็นปัจจุบันเป็น  $ZnO-Zn_2TiO_4$  core-shell nanowires เกิดมาจากการ interdiffusion ระหว่าง  $ZnO$  and  $TiO_2$

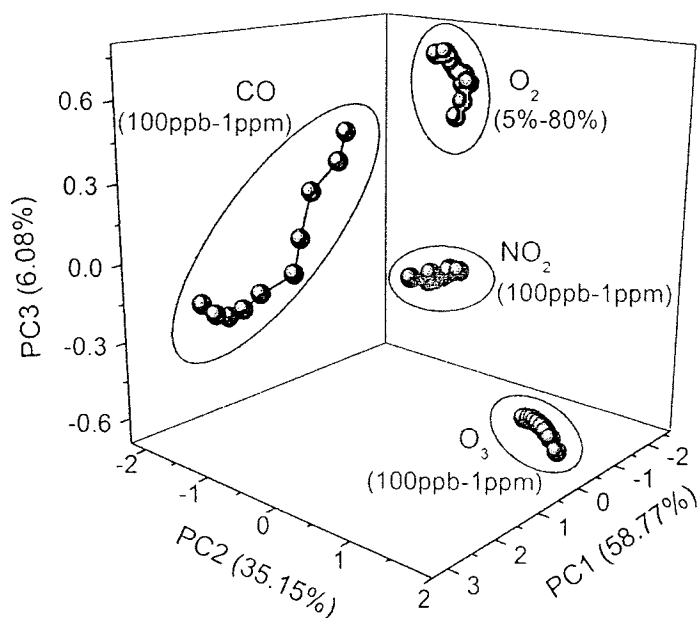


รูปที่ 10: TEM และ ED patterns ของ (a)  $ZnO$  nanowire, (b)  $ZnO-ZnAl_2O_4$  core-shell nanowire, and (c)  $ZnO-Zn_2TiO_4$  core-shell nanowire.

ค่าการตอบสนองของก้าชเซนเซอร์  $ZnO$  nanowires,  $ZnO-ZnAl_2O_4$  core-shell nanowires และ  $ZnO-Zn_2TiO_4$  core-shell nanowires ต่อก้าชต่างๆที่อุณหภูมิห้องถูกระดับอยู่ในรูปที่ 11 ที่ค่าเข้มข้น 100-300 ppb ของ  $NO_2$  ก้าชเซนเซอร์  $ZnO-Zn_2TiO_4$  core-shell nanowire แสดงค่าการตอบสนองที่สูงมากกว่าก้าชเซนเซอร์อื่นๆถึง 50% เมื่อจากการมี surface roughness ที่มากที่สุดสำหรับก้าชเซนเซอร์  $ZnO$  nanowires และการตอบสนองต่อก้าชหลากหลายจึงไม่เหมาะสมการนำไปใช้เป็นก้าชเซนเซอร์ก้าชไดก้าชนี้ สำหรับก้าชเซนเซอร์  $ZnO-ZnAl_2O_4$  core-shell nanowires มีค่าการเลือกตอบสนองและการตอบสนองต่อ  $NO_2$  ดีมาก การที่คุณสมบัติของ Core-shell ดีกว่าเป็นเพราะการซ้ายเหลือของ n-n heterojunction สำหรับช่วยเรื่องของการ charge transfer



รูปที่ 11: ค่าการตอบสนองของก้าชเซนเซอร์ ZnO nanowires, ZnO-ZnAl<sub>2</sub>O<sub>4</sub> core-shell nanowires และ ZnO-Zn<sub>2</sub>TiO<sub>4</sub> core-shell nanowires ต่อ ก๊าซชนิดต่างๆ ที่อุณหภูมิห้อง

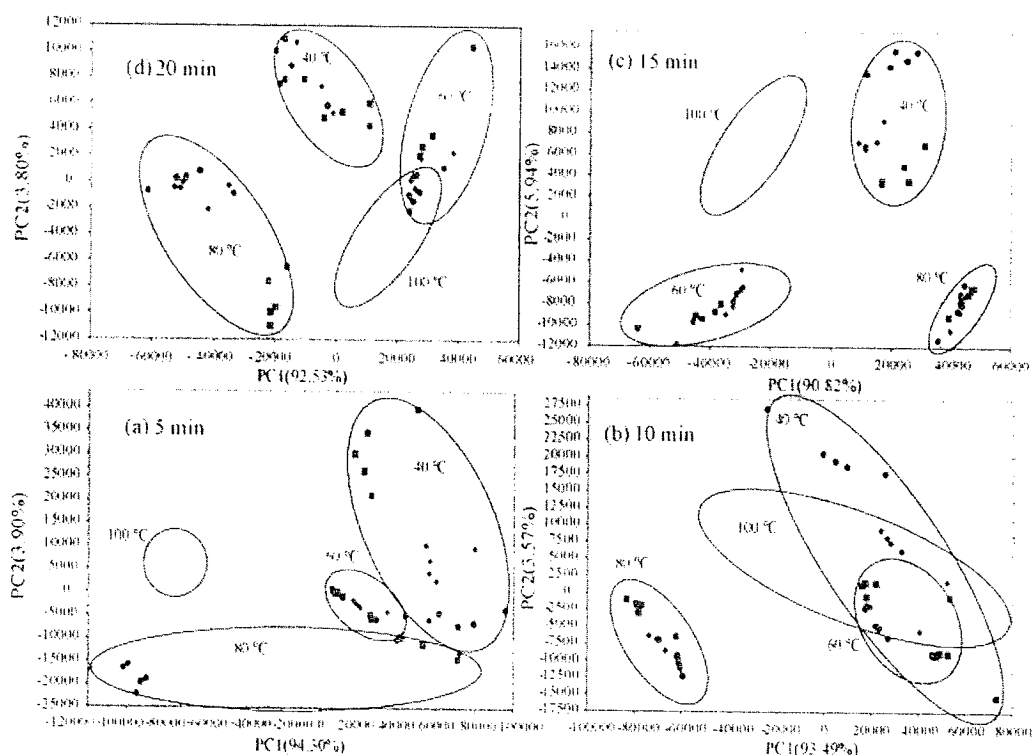


รูปที่ 12: 3D-PCA ของการแยกแยะก๊าซชนิดต่างๆ ที่อุณหภูมิห้อง

โดยการวิเคราะห์โดยใช้องค์ประกอบหลัก (Principal component analysis, PCA) เพื่อดูประสิทธิภาพการแยกแยะของก๊าซเซนเซอร์ จะสังเกตได้ว่า Gas sensor ที่ผลิตขึ้นทั้ง nanowire และ Core-shell nanowire เมื่อนำมาใช้ตรวจวัดก๊าซพร้อมกัน จะมีประสิทธิภาพการจำแนกชนิดก๊าซได้ดีมาก (ดังรูปที่ 12) จากผลของ PCA ไม่มีก๊าซใดก๊าชหนึ่งที่ซ้อนทับกันเลย ทำให้สรุปได้ว่าก๊าซเซนเซอร์ดังกล่าวมีประสิทธิภาพสูงในการตรวจวัดชนิดของก๊าซและความเข้มข้นของก๊าซในระดับ ppb ได้ที่อุณหภูมิห้อง อีกทั้งแยกแยะก๊าซไม่มีพิษและก๊าซมีพิษออกจากกันได้

#### 4.3 การประยุกต์ใช้ Electronic Nose ที่สร้างขึ้นกับการใช้งานด้านอื่น ๆ

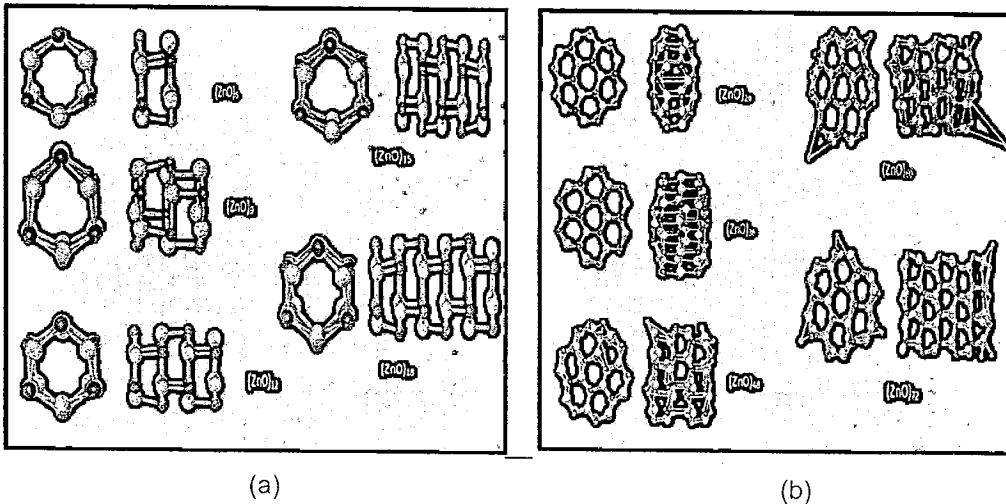
ไม่เพียงใช้ Electronic Nose ที่สร้างขึ้นกับการทดสอบก๊าซเซนเซอร์ ยังนำ Electronic Nose เป็นใช้งานด้านอื่นๆอีก เช่น การตรวจโรคเบาหวาน หรือ การตรวจกลิ่นขนมปังเป็นต้น ตัวอย่างผลการแยกแยะกลิ่นขนมปังเมื่อใช้เวลาปั้งที่อุณหภูมิและเวลาที่แตกต่างกันถูกแสดงอยู่ในรูปที่ ผลต่างๆ นี้ให้เห็นถึงประสิทธิภาพของเครื่อง Electronic Nose ที่สร้างขึ้น สามารถแยกแยะกลิ่นขนมปังได้โดยเมื่อปั้นขนมปังที่ 15 นาทีจะทำให้เกิดกลิ่นที่มีลักษณะเฉพาะกันของแต่ละอุณหภูมิในการปั้นได้ดังแสดงอยู่ในรูปที่ 13 เป็นต้น



รูปที่ 13: ผล PCA สำหรับการแยกแยะขนมปังที่ปั้นด้วยเวลาและอุณหภูมิแตกต่างกัน

#### 4.4 แบบจำลองโมเลกุล ZnO และคุณสมบัติการนำไฟฟ้าโดยใช้การคำนวณแบบความตัวม

โครงสร้างของ ZnO ที่ใช้เป็นหนึ่งในวัสดุตอบสนองได้ถูกออกแบบในระดับโมเลกุลและถูกศึกษาคุณสมบัติทางโครงสร้างและการนำไฟฟ้าโดยใช้วิธี AM1 method ผลภายหลังการทำ Geometry Optimization ถูกแสดงอยู่ในรูปที่ 14 จะสังเกตได้ว่าภายหลังจาก Optimization พันธะมีการเคลื่อนที่ออกจากตำแหน่งเดิม แต่ยังคงรักษาคุณสมบัติ hexagonal wurtzite structure อยู่ โดยที่โครงสร้างที่มี diameter ที่ใหญ่จะสังเกตได้ว่าเกิด Vacancy defect ได้อะตอมออกซิเจนเมื่อโอกาสที่หลุดออก



รูปที่ 14: โครงสร้างของ ZnO หลังจาก Geometry Optimization ด้วย AM1 method

คุณสมบัติทางโครงสร้างและการนำไฟฟ้าของ ZnO nanowire หลังจาก Geometry Optimization ด้วย AM1 method ถูกสรุปอยู่ในตารางที่ 1 และ 2 จากตารางจะสังเกตได้ว่าค่าการนำไฟฟ้า (Energy Gap) จะมีค่าการนำไฟฟ้าต่ำลง ถ้า ZnO มีขนาดที่ใหญ่ขึ้นและยาวขึ้น อย่างไรก็ตาม การคำนวณด้วยวิธี AM1 ยังไม่สามารถให้ค่าการนำไฟฟ้าที่แท้จริง แต่สามารถนำค่าต่างๆ มาทำการเปรียบเทียบในเชิงคุณภาพได้เท่านั้น ซึ่งการศึกษาการก่อกำเนิดเป็น Core-shell ของ ZnO กับโลหะกึ่งตัวนำอื่นๆ จะจะต้องใช้ method อื่นๆ แทน เช่น DFTB แต่เนื่องด้วยข้อจำกัดทางทรัพยากรคอมพิวเตอร์ในการคำนวณ และข้อจำกัดของ force field สำหรับโลหะออกไซด์ที่ใช้ทำการผลิตเซนเซอร์ครั้งนี้ จึงไม่สามารถทำการคำนวณได้ในคราวเดียว อย่างไรก็ตามการคำนวณต่างๆ เช่นโมเลกุลอาจจะไม่มีความจำเป็นสำหรับงานด้านก้าชเซนเซอร์นี้ด้วยไป เนื่องจากผู้วิจัยสามารถอธิบายกลไกการรวมตัว และกลไกการตอบสนองของก้าชเซนเซอร์ต่อก้าชพิษด้วยวิธีอื่นๆ เป็นที่เรียบร้อยเสร็จสมบูรณ์ดังที่แสดงอยู่ในการอธิบายรายด้านบน

ตารางที่ 1: แสดงคุณสมบัติต่างๆของ ZnO ที่อยู่ในรูปที่ 10a โดยใช้ AM1 method

	$(\text{ZnO})_6$	$(\text{ZnO})_9$	$(\text{ZnO})_{12}$	$(\text{ZnO})_{15}$	$(\text{ZnO})_{18}$
Total Energy /Number of Atoms (kcal/mol)	-4029.784	-4031.646	-4032.276	-4032.662	-4032.922
LUMO (eV)	-0.702	-0.791	-0.738	-0.796	-0.808
HOMO (eV)	-10.704	-10.606	-10.584	-10.637	-10.610
Energy Gap (eV)	10.002	9.815	9.846	9.841	9.802
Diameter ( $\text{\AA}$ )	3.998	3.981	3.976	3.976	3.976
Length ( $\text{\AA}$ )	2.132	4.217	6.249	8.387	10.423
Zn-O Bond Length ( $\text{\AA}$ )	2.040	2.076	2.088	2.095	2.099

ตารางที่ 2: แสดงคุณสมบัติต่างๆของ ZnO ที่อยู่ในรูปที่ 10b โดยใช้ AM1 method

	$(\text{ZnO})_{24}$	$(\text{ZnO})_{36}$	$(\text{ZnO})_{48}$	$(\text{ZnO})_{60}$	$(\text{ZnO})_{72}$
Total Energy /Number of Atoms (kcal/mol)	-4034.823	-4033.268	-4032.734	-4031.025	-4030.211
LUMO (eV)	-1.147	-1.249	-2.248	-4.727	-4.632
HOMO (eV)	-10.875	-10.662	-8.909	-6.819	-7.070
Energy Gap (eV)	9.728	9.413	6.661	2.092	2.438
Diameter ( $\text{\AA}$ )	9.175	9.735	9.548	10.003	9.952
Length ( $\text{\AA}$ )	2.706	4.492	8.416	10.759	13.639
Zn-O Bond Length ( $\text{\AA}$ )	2.632	2.294	2.176	2.208	2.119

## 5. สรุปผล

ก้าวเดินเชอร์ทีมโครงสร้างแบบ Nanorods แบบ Nanowires และ แบบ Core-shell nanowires ได้ถูกผลิตขึ้นโดยใช้หลักหลาภวิธี เช่น CVD, ALD และ Glancing Angle RF Sputtering โดยแต่ละโครงสร้างและแต่ละวิธีจะมีข้อดีที่แตกต่างกัน เช่น Core-shell nanowires

Sensors สามารถตรวจจับก๊าซพิษต่างๆ ได้ที่อุณหภูมิห้อง ในขณะที่ C-doped  $\text{WO}_3$  Nanorods Gas sensors สามารถตรวจจับ  $\text{NO}_2$  ได้ดี มีวิธีการผลิตที่ง่ายกว่าแต่ทำงานที่อุณหภูมิค่อนข้างสูง ( $> 150^\circ\text{C}$ ) เป็นต้น อย่างไรก็ตามวิธีทั้งหมดที่นำเสนอในโครงการวิจัยครั้นนี้ เป็นวิธีที่สามารถผลิตก๊าซเซนเซอร์ที่มีคุณภาพสูง มีความเป็นระเบียบของโครงสร้างวัสดุนาโนตอบสนองสูง สามารถนำไปใช้ประโยชน์ในกระบวนการไปผลิตได้ในระดับอุตสาหกรรม โดยการรวมกันของก๊าซเซนเซอร์เหล่านี้ สามารถที่จะใช้เป็นเครื่องมือในการตรวจสอบคุณภาพอากาศโดยมีความสามารถแยกแยะและบ่งบอกถึงความเข้มข้นของก๊าซที่มีพิษ และไม่มีพิษได้ในระดับ ppb

## 6. Output ที่ได้จากการ (Acknowledge the Thailand Research Fund: MRG 5580229)

### 6.1 International Journal Publications

- **C. Wongchoosuk**, A. Wisitsoraat, D. Phokharatkul, M. Horprathum, A. Tuantranont, T. Kerdcharoen, "Carbon Doped Tungsten Oxide Nanorods  $\text{NO}_2$  Sensor Prepared by Glancing Angle RF Sputtering", *Sensors and Actuators B: Chemical*, Vol. 181, 2013, pp. 388-394. (Impact factor (2012) = 3.535)
- **C. Wongchoosuk**, K. Subannajui, C. Wang, Y. Yang, F. Güder, T. Kerdcharoen, V. Cimalla, M. Zacharias, "Electronic Nose for Toxic Gas Detection based on Photostimulated Core-Shell Nanowires", Submitted to Lab on a Chip (Impact factor (2012) = 5.697).

### 6.2 International Conference Proceeding

- M. Lutz, **C. Wongchoosuk\***, A. Tuantranont, S. Choopun, P. Singjai, T. Kerdcharoen, Development of Networked Electronic Nose Based on Multi-walled Carbon Nanotubes/Polymer Composite Gas Sensor Array, The 5th IEEE International Nanoelectronics Conference, (IEEE INEC 2013), 2 – 4 January 2013, Resorts World Sentosa, Singapore. (IEEE Explore & Scopus Databases)
- S. Siyang, T. Kerdcharoen, **C. Wongchoosuk\***, Diabetes Diagnosis by Direct Measurement from Urine Odor Using Electronic Nose , The 5th Biomedical Engineering International Conference (BMEICON2012), 5-7 December 2012, Ubon Ratchthani, Thailand & Champasak, Laos. (IEEE Explore & Scopus Databases)

### **6.3 National Conference Proceeding**

- K. Timsorn, C. Khunarak, P. Nipakul, T. Pogfay, **C. Wongchoosuk\***, "Bread Baking Aroma Analysis by an Intelligent Electronic Nose System for Future Robotic Chef", Proceeding of Siam Physics Congress 2013 (SPC2013), 21-23 March 2013, Chiang Mai, Thailand.
- Y. Seekaew, W. Klanritt, S. Promchaem, and **C. Wongchoosuk\***, Invention of Stereo Electronic Nose for Mobile Robot, the 10th Asian Conference on Chemical Sensors: Chemical Sensors for the Sustainable Society (ACCS 2013), November 11-14, 2013, The Empress Hotel, Chiang Mai, Thailand.